

	(0.00,0.15)	(0.15,0.28)	(0.28,0.41)	(0.41,0.55)	(0.55,0.72)	(0.72,2.00)
0	0.029412	0.038835	0.048544	0.049020	0.038835	0.039216
1	0.019417	0.147059	0.137255	0.088235	0.029412	0.029126
2	0.088235	0.205882	0.088235	0.049505	0.049020	0.019608
3	0.254902	0.176471	0.107843	0.106796	0.058252	0.049020
4	0.411765	0.267327	0.178218	0.107843	0.049020	0.039216
5	0.558824	0.384615	0.221154	0.156863	0.049020	0.039216
6	0.627451	0.745098	0.401961	0.215686	0.089109	0.087379
7	0.754902	0.862745	0.715686	0.274510	0.086538	0.088235
8	0.813725	0.862745	0.970588	0.529412	0.215686	0.127451
9	0.873786	0.980583	0.961165	0.932039	0.737864	0.359223

Таблица 1: Результаты отклика для различных диапазонов M500 и z для каталога pz_rot_28.

Отчет по курсовой работе за неделю

Дата: 25.2.2021

Научные руководители: Герасимов С.В., Мещеряков А.В.

Студент: Немешаева Алиса

Курс: 4

1. Построена кривая обучения для модели act_found2.
2. Построена таблица откликов для скоплений с разными параметрами M500 и z (промежутки для M500 и z были выбраны так, чтобы в каждой группе оказалось равное по сравнению с остальными количество объектов). Результаты представлены в таблице [1](#).
3. Исправлена иллюстрация для демонстрации карты сегментации модели all_found34. [2](#)

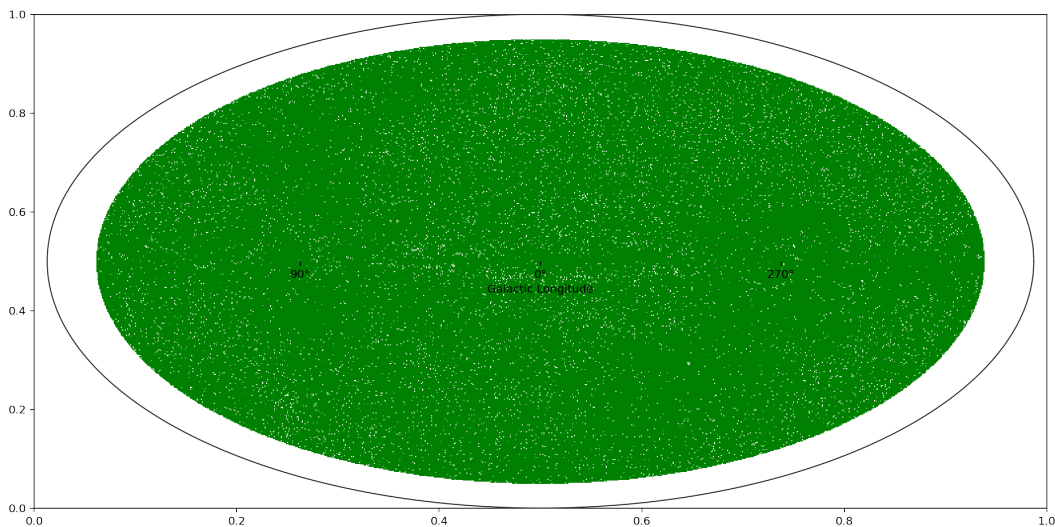


Рис. 1: Распределение найденных моделью pz_rot28 скоплений по небу

Отчет согласован с научным руководителем.

Общее количество строк кода за эту неделю: 218

[Репозиторий](#)

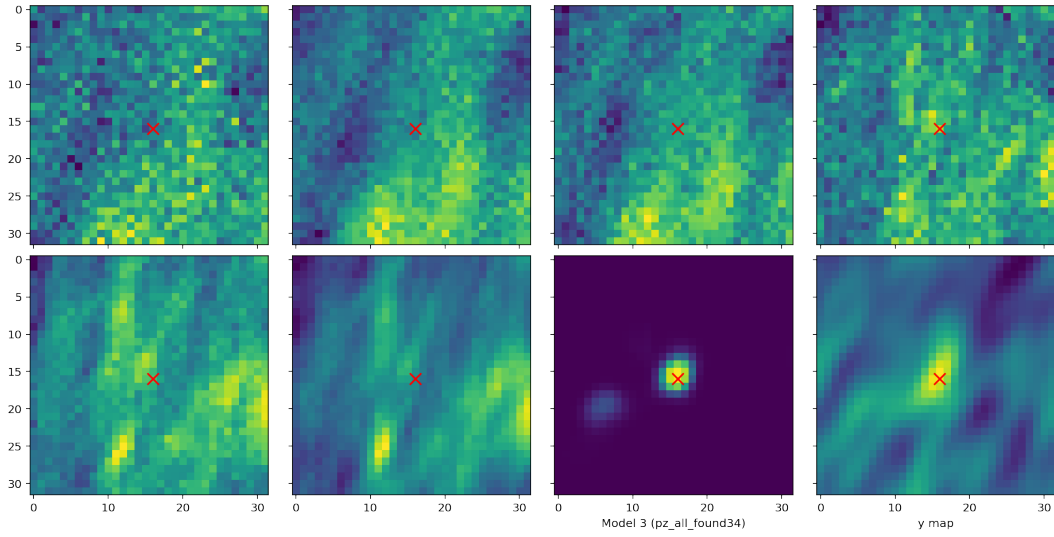


Рис. 2: Скопление из каталога `planck_z` (RA 166.422, DEC -10.2505) с картами Planck, картой сегментации и картой y -параметра.